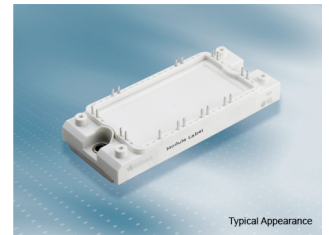


EconoPACK™2 Modul mit TRENCHSTOP™ IGBT7 und Emitter Controlled 7 Diode und NTC

Eigenschaften

- Elektrische Eigenschaften
 - $V_{CES} = 1200\text{ V}$
 - $I_{C\text{ nom}} = 75\text{ A} / I_{CRM} = 150\text{ A}$
 - Trenchstop™ IGBT7
 - Niedriges V_{CESat}
 - Überlastbetrieb bis zu 175°C
- Mechanische Eigenschaften
 - Hohe Last- und thermische Wechselfestigkeit
 - Integrierter NTC Temperatur Sensor
 - Kupferbodenplatte
 - Al_2O_3 Substrat mit kleinem thermischen Widerstand
 - Lötverbindungstechnik
 - Standardgehäuse



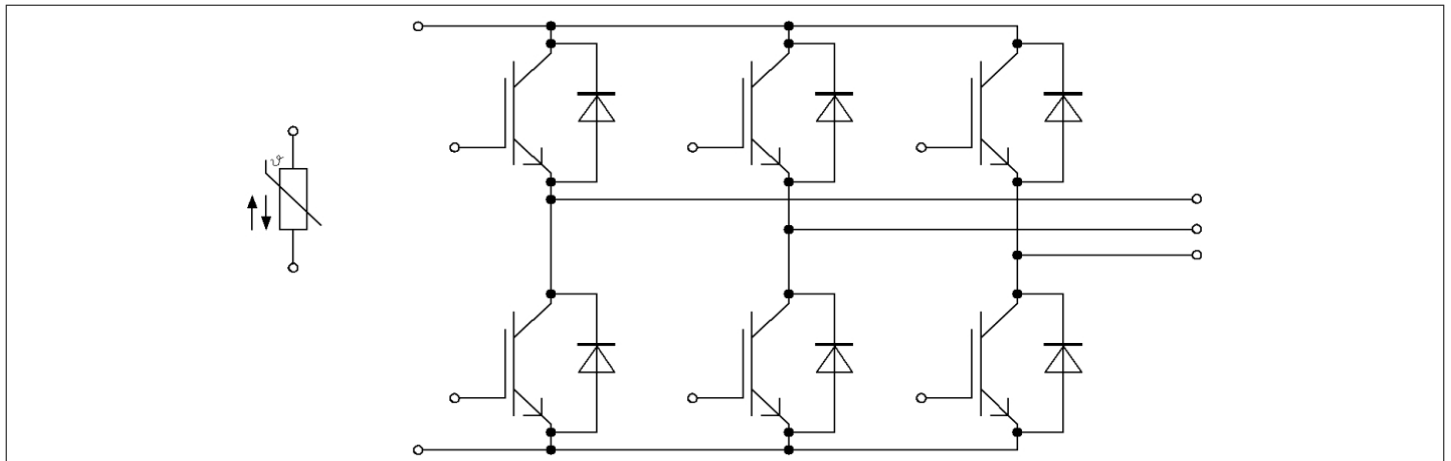
Potenzielle Anwendungen

- Hilfsumrichter
- Motorantriebe
- Servoumrichter

Produktvalidierung

- Qualifiziert für Industrieanwendungen entsprechend den relevanten Tests der IEC 60747, 60749 und 60068

Beschreibung



Inhalt

	Beschreibung	1
	Eigenschaften	1
	Potenzielle Anwendungen	1
	Produktvalidierung	1
	Inhalt	2
1	Gehäuse	3
2	IGBT, Wechselrichter	3
3	Diode, Wechselrichter	5
4	NTC-Widerstand	6
5	Kennlinien	7
6	Schaltplan	12
7	Gehäuseabmessungen	13
8	Modul-Label-Code	14
	Änderungshistorie	15
	Disclaimer	16

1 Gehäuse

Tabelle 1 Isulationskoordination

Parameter	Symbol	Notiz oder Prüfbedingung	Werte	Einh.
Isulations-Prüfspannung	V_{ISOL}	RMS, $f = 50 \text{ Hz}$, $t = 1 \text{ min}$	2.5	kV
Material Modulgrundplatte			Cu	
Innere Isolation		Basisisolierung (Schutzklasse 1, EN61140)	Al_2O_3	
Kriechstrecke	d_{Creep}	Kontakt - Kühlkörper	10.0	mm
Luftstrecke	d_{Clear}	Kontakt - Kühlkörper	7.5	mm
Vergleichszahl der Kriechwegbildung	CTI		>200	
Relativer Temperaturindex (elektr.)	RTI	Gehäuse	140	°C

Tabelle 2 Charakteristische Werte

Parameter	Symbol	Notiz oder Prüfbedingung	Werte			Einh.
			Min.	Typ.	Max.	
Modulstreuintduktivität	L_{SCE}			17		nH
Modulleitungswiderstand, Anschlüsse - Chip	$R_{CC'+EE'}$	$T_C = 25^\circ\text{C}$, pro Schalter		3.3		mΩ
Lagertemperatur	T_{stg}		-40		125	°C
Anzugsdrehmoment f. Modulmontage	M	- Montage gem. gültiger Applikationsschrift	M5, Schraube	3	6	Nm
Gewicht	G			180		g

Anmerkung: The current under continuous operation is limited to 50A rms per connector pin.

2 IGBT, Wechselrichter

Tabelle 3 Höchstzulässige Werte

Parameter	Symbol	Notiz oder Prüfbedingung		Werte	Einh.
Kollektor-Emitter-Sperrspannung	V_{CES}		$T_{vj} = 25^\circ\text{C}$	1200	V
Kollektor-Dauergleichstrom	I_{CDC}	$T_{vj \text{ max}} = 175^\circ\text{C}$	$T_C = 100^\circ\text{C}$	75	A
Periodischer Kollektor-Spitzenstrom	I_{CRM}	$t_p = 1 \text{ ms}$		150	A
Gate-Emitter-Spitzenspannung	V_{GES}			±20	V

Tabelle 4 Charakteristische Werte

Parameter	Symbol	Notiz oder Prüfbedingung	Werte			Einh.
			Min.	Typ.	Max.	
Kollektor-Emitter-Sättigungsspannung	$V_{CE\ sat}$	$I_C = 75\text{ A}, V_{GE} = 15\text{ V}$	$T_{vj} = 25\text{ °C}$	1.55	1.80	V
			$T_{vj} = 125\text{ °C}$	1.69		
			$T_{vj} = 175\text{ °C}$	1.77		
Gate-Schwellenspannung	V_{GEth}	$I_C = 1.28\text{ mA}, V_{CE} = V_{GE}, T_{vj} = 25\text{ °C}$	5.15	5.80	6.45	V
Gateladung	Q_G	$V_{GE} = \pm 15\text{ V}, V_{CE} = 600\text{ V}$		1.25		μC
Interner Gatewiderstand	R_{Gint}	$T_{vj} = 25\text{ °C}$		2		Ω
Eingangskapazität	C_{ies}	$f = 100\text{ kHz}, T_{vj} = 25\text{ °C}, V_{CE} = 25\text{ V}, V_{GE} = 0\text{ V}$		15.1		nF
Rückwirkungskapazität	C_{res}	$f = 100\text{ kHz}, T_{vj} = 25\text{ °C}, V_{CE} = 25\text{ V}, V_{GE} = 0\text{ V}$		0.053		nF
Kollektor-Emitter-Reststrom	I_{CES}	$V_{CE} = 1200\text{ V}, V_{GE} = 0\text{ V}$	$T_{vj} = 25\text{ °C}$		0.014	mA
Gate-Emitter-Reststrom	I_{GES}	$V_{CE} = 0\text{ V}, V_{GE} = 20\text{ V}, T_{vj} = 25\text{ °C}$			100	nA
Einschaltverzögerungszeit (ind. Last)	t_{don}	$I_C = 75\text{ A}, V_{CE} = 600\text{ V}, V_{GE} = \pm 15\text{ V}, R_{Gon} = 5.6\text{ }\Omega$	$T_{vj} = 25\text{ °C}$	0.164		μs
			$T_{vj} = 125\text{ °C}$	0.178		
			$T_{vj} = 175\text{ °C}$	0.185		
Anstiegszeit (induktive Last)	t_r	$I_C = 75\text{ A}, V_{CE} = 600\text{ V}, V_{GE} = \pm 15\text{ V}, R_{Gon} = 5.6\text{ }\Omega$	$T_{vj} = 25\text{ °C}$	0.048		μs
			$T_{vj} = 125\text{ °C}$	0.053		
			$T_{vj} = 175\text{ °C}$	0.057		
Abschaltverzögerungszeit (ind. Last)	t_{doff}	$I_C = 75\text{ A}, V_{CE} = 600\text{ V}, V_{GE} = \pm 15\text{ V}, R_{Goff} = 5.6\text{ }\Omega$	$T_{vj} = 25\text{ °C}$	0.300		μs
			$T_{vj} = 125\text{ °C}$	0.380		
			$T_{vj} = 175\text{ °C}$	0.420		
Fallzeit (induktive Last)	t_f	$I_C = 75\text{ A}, V_{CE} = 600\text{ V}, V_{GE} = \pm 15\text{ V}, R_{Goff} = 5.6\text{ }\Omega$	$T_{vj} = 25\text{ °C}$	0.120		μs
			$T_{vj} = 125\text{ °C}$	0.200		
			$T_{vj} = 175\text{ °C}$	0.270		
Einschaltverlustenergie pro Puls	E_{on}	$I_C = 75\text{ A}, V_{CE} = 600\text{ V}, L_\sigma = 35\text{ nH}, V_{GE} = \pm 15\text{ V}, R_{Gon} = 5.6\text{ }\Omega, di/dt = 1200\text{ A}/\mu\text{s} (T_{vj} = 175\text{ °C})$	$T_{vj} = 25\text{ °C}$	7.96		mJ
			$T_{vj} = 125\text{ °C}$	10.8		
			$T_{vj} = 175\text{ °C}$	12.3		
Abschaltverlustenergie pro Puls	E_{off}	$I_C = 75\text{ A}, V_{CE} = 600\text{ V}, L_\sigma = 35\text{ nH}, V_{GE} = \pm 15\text{ V}, R_{Goff} = 5.6\text{ }\Omega, dv/dt = 3200\text{ V}/\mu\text{s} (T_{vj} = 175\text{ °C})$	$T_{vj} = 25\text{ °C}$	5.02		mJ
			$T_{vj} = 125\text{ °C}$	7.68		
			$T_{vj} = 175\text{ °C}$	9.46		
Kurzschlussverhalten	I_{SC}	$V_{GE} \leq 15\text{ V}, V_{CC} = 800\text{ V}, V_{CEmax} = V_{CES} - L_{SCE} \cdot di/dt$	$t_P \leq 8\text{ }\mu\text{s}, T_{vj} = 150\text{ °C}$	260		A
			$t_P \leq 7\text{ }\mu\text{s}, T_{vj} = 175\text{ °C}$	250		
Wärmewiderstand, Chip bis Gehäuse	R_{thJC}	pro IGBT			0.475	K/W

(wird fortgesetzt...)

Tabelle 4 (Fortsetzung) Charakteristische Werte

Parameter	Symbol	Notiz oder Prüfbedingung	Werte			Einh.
			Min.	Typ.	Max.	
Wärmewiderstand, Gehäuse bis Kühlkörper	R_{thCH}	pro IGBT, $\lambda_{Paste} = 1 \text{ W}/(\text{m}^2\text{K})$		0.141		K/W
Temperatur im Schaltbetrieb	$T_{vj\text{op}}$		-40		175	°C

Anmerkung: $T_{vj\text{op}} > 150^\circ\text{C}$ is allowed for operation at overload conditions. For detailed specifications, please refer to AN2018-14.

3 Diode, Wechselrichter

Tabelle 5 Höchstzulässige Werte

Parameter	Symbol	Notiz oder Prüfbedingung	Werte	Einh.	
Periodische Spitzensperrspannung	V_{RRM}	$T_{vj} = 25^\circ\text{C}$	1200	V	
Dauergleichstrom	I_F		75	A	
Periodischer Spitzenstrom	I_{FRM}	$t_p = 1 \text{ ms}$	150	A	
Grenzlastintegral	I^2t	$t_p = 10 \text{ ms}, V_R = 0 \text{ V}$	$T_{vj} = 125^\circ\text{C}$	1150	A^2s
			$T_{vj} = 175^\circ\text{C}$	740	

Tabelle 6 Charakteristische Werte

Parameter	Symbol	Notiz oder Prüfbedingung	Werte			Einh.
			Min.	Typ.	Max.	
Durchlassspannung	V_F	$I_F = 75 \text{ A}, V_{GE} = 0 \text{ V}$	$T_{vj} = 25^\circ\text{C}$	1.72	2.10	V
			$T_{vj} = 125^\circ\text{C}$	1.59		
			$T_{vj} = 175^\circ\text{C}$	1.52		
Rückstromspitze	I_{RM}	$V_R = 600 \text{ V}, I_F = 75 \text{ A}, V_{GE} = -15 \text{ V}, -di_F/dt = 1200 \text{ A}/\mu\text{s} (T_{vj} = 175^\circ\text{C})$	$T_{vj} = 25^\circ\text{C}$	43		A
			$T_{vj} = 125^\circ\text{C}$	56		
			$T_{vj} = 175^\circ\text{C}$	65		
Sperrverzögerungsladung	Q_r	$V_R = 600 \text{ V}, I_F = 75 \text{ A}, V_{GE} = -15 \text{ V}, -di_F/dt = 1200 \text{ A}/\mu\text{s} (T_{vj} = 175^\circ\text{C})$	$T_{vj} = 25^\circ\text{C}$	4.94		μC
			$T_{vj} = 125^\circ\text{C}$	10.2		
			$T_{vj} = 175^\circ\text{C}$	13.7		
Abschaltenergie pro Puls	E_{rec}	$V_R = 600 \text{ V}, I_F = 75 \text{ A}, V_{GE} = -15 \text{ V}, -di_F/dt = 1200 \text{ A}/\mu\text{s} (T_{vj} = 175^\circ\text{C})$	$T_{vj} = 25^\circ\text{C}$	1.45		mJ
			$T_{vj} = 125^\circ\text{C}$	3.32		
			$T_{vj} = 175^\circ\text{C}$	4.62		
Wärmewiderstand, Chip bis Gehäuse	R_{thJC}	pro Diode			0.708	K/W

(wird fortgesetzt...)

Tabelle 6 (Fortsetzung) Charakteristische Werte

Parameter	Symbol	Notiz oder Prüfbedingung	Werte			Einh.
			Min.	Typ.	Max.	
Wärmewiderstand, Gehäuse bis Kühlkörper	R_{thCH}	pro Diode, $\lambda_{paste} = 1 \text{ W}/(\text{m}^2\text{K})$		0.153		K/W
Temperatur im Schaltbetrieb	$T_{vj\text{op}}$		-40		175	°C

Anmerkung: $T_{vj\text{op}} > 150^\circ\text{C}$ is allowed for operation at overload conditions. For detailed specifications, please refer to AN2018-14.

4 NTC-Widerstand

Tabelle 7 Charakteristische Werte

Parameter	Symbol	Notiz oder Prüfbedingung	Werte			Einh.
			Min.	Typ.	Max.	
Nennwiderstand	R_{25}	$T_{NTC} = 25^\circ\text{C}$		5		kΩ
Abweichung von R_{100}	$\Delta R/R$	$T_{NTC} = 100^\circ\text{C}$, $R_{100} = 493 \Omega$	-5		5	%
Verlustleistung	P_{25}	$T_{NTC} = 25^\circ\text{C}$			20	mW
B-Wert	$B_{25/50}$	$R_2 = R_{25} \exp[B_{25/50}(1/T_2 - 1/(298,15 \text{ K}))]$		3375		K
B-Wert	$B_{25/80}$	$R_2 = R_{25} \exp[B_{25/80}(1/T_2 - 1/(298,15 \text{ K}))]$		3411		K
B-Wert	$B_{25/100}$	$R_2 = R_{25} \exp[B_{25/100}(1/T_2 - 1/(298,15 \text{ K}))]$		3433		K

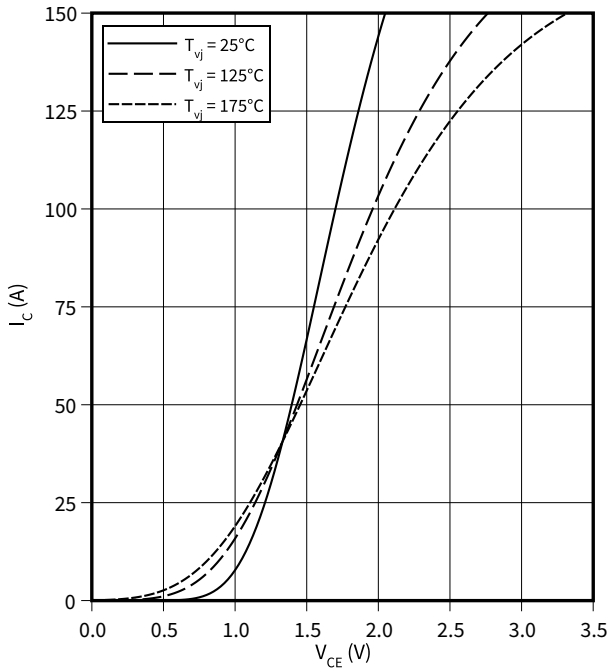
Anmerkung: Angaben gemäß gültiger Application Note.

5 Kennlinien

Ausgangskennlinie (typisch), IGBT, Wechselrichter

$$I_C = f(V_{CE})$$

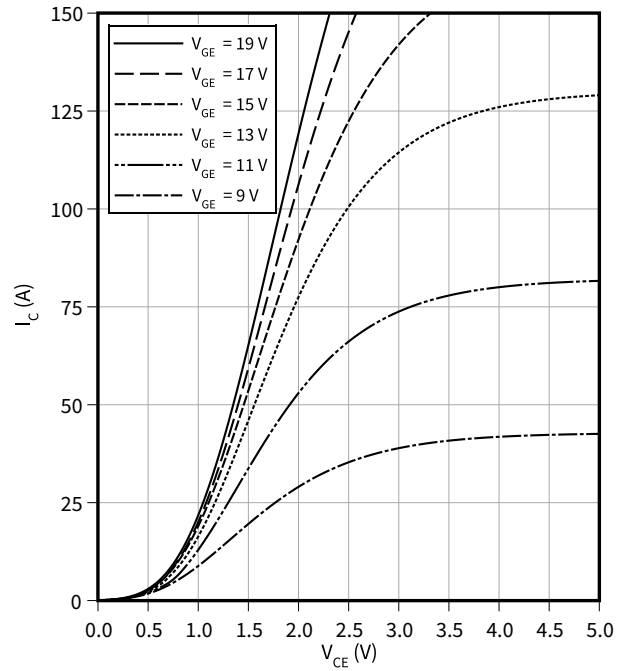
$$V_{GE} = 15 \text{ V}$$



Ausgangskennlinienfeld (typisch), IGBT, Wechselrichter

$$I_C = f(V_{CE})$$

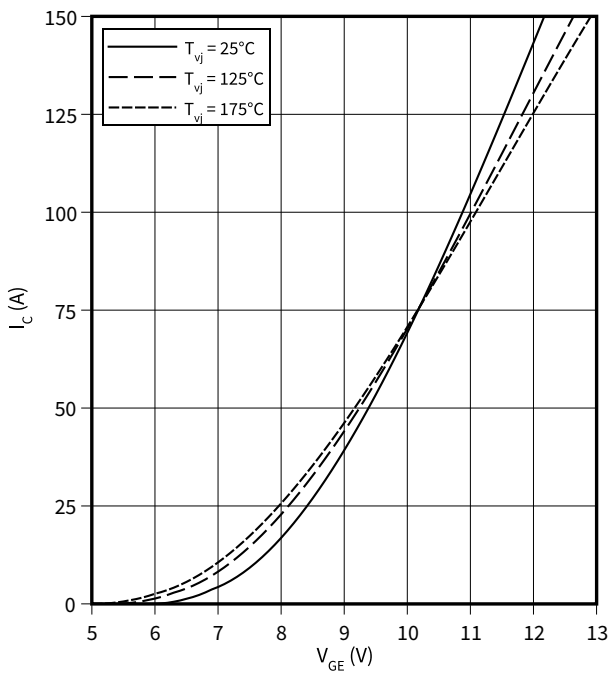
$$T_{vj} = 175 \text{ °C}$$



Übertragungscharakteristik (typisch), IGBT, Wechselrichter

$$I_C = f(V_{GE})$$

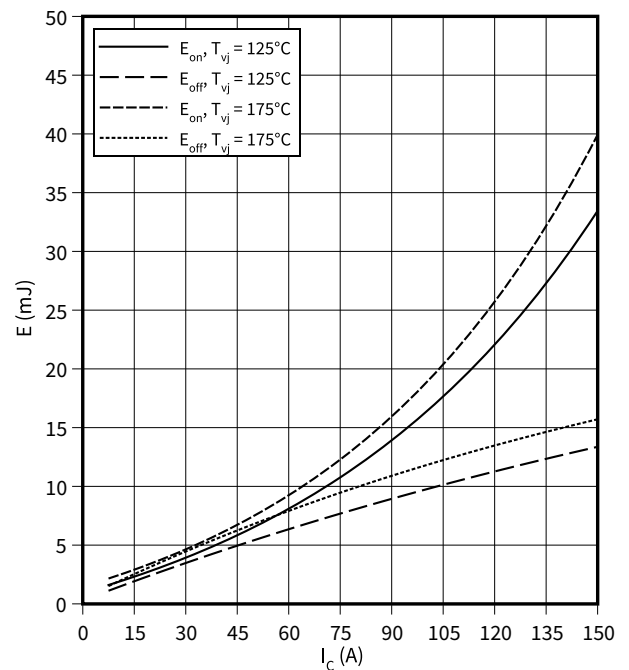
$$V_{CE} = 20 \text{ V}$$



Schaltverluste (typisch), IGBT, Wechselrichter

$$E = f(I_C)$$

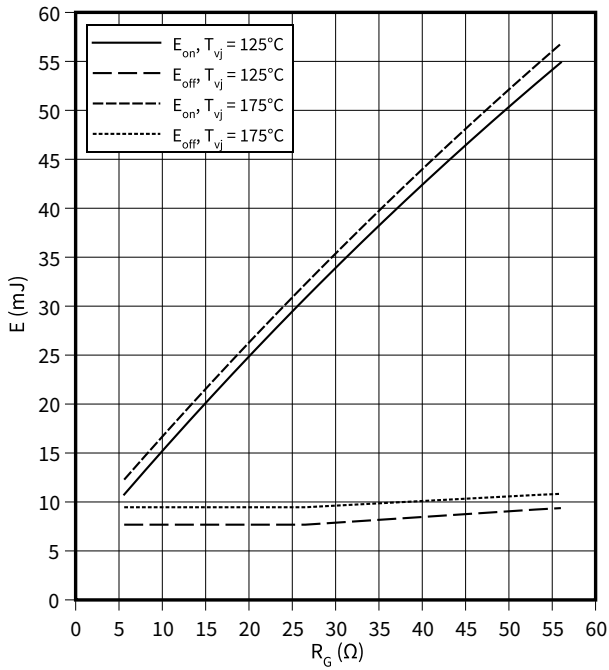
$$R_{Goff} = 5.6 \text{ } \Omega, R_{Gon} = 5.6 \text{ } \Omega, V_{CE} = 600 \text{ V}, V_{GE} = \pm 15 \text{ V}$$



Schaltverluste (typisch), IGBT, Wechselrichter

$E = f(R_G)$

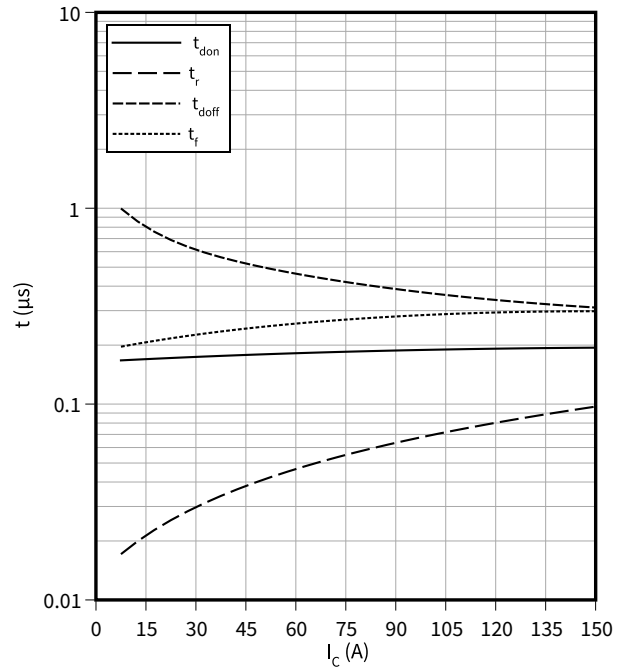
$I_C = 75 \text{ A}, V_{CE} = 600 \text{ V}, V_{GE} = \pm 15 \text{ V}$



Schaltzeiten (typisch), IGBT, Wechselrichter

$t = f(I_C)$

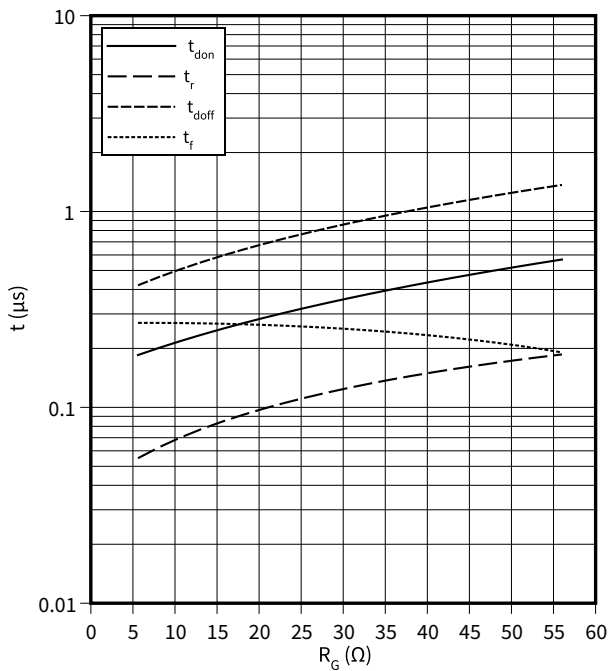
$R_{Goff} = 5.6 \Omega, R_{Gon} = 5.6 \Omega, V_{CE} = 600 \text{ V}, V_{GE} = \pm 15 \text{ V}, T_{vj} = 175 \text{ °C}$



Schaltzeiten (typisch), IGBT, Wechselrichter

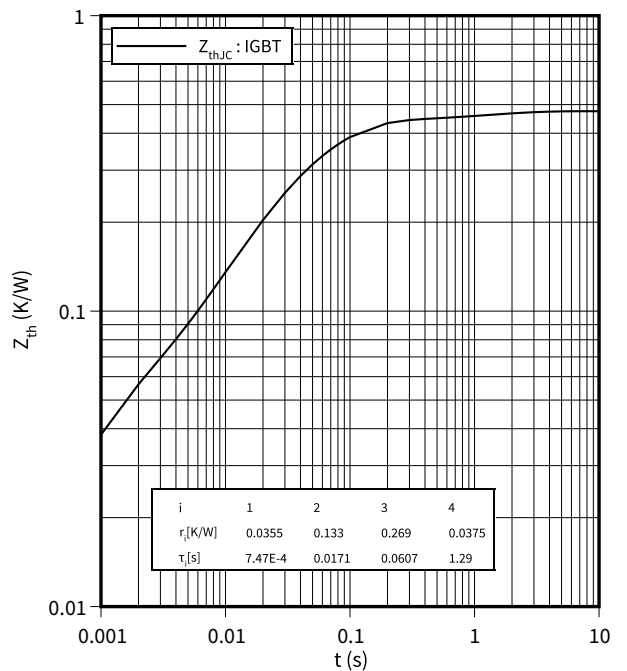
$t = f(R_G)$

$I_C = 75 \text{ A}, V_{CE} = 600 \text{ V}, V_{GE} = \pm 15 \text{ V}, T_{vj} = 175 \text{ °C}$



Transienter Wärmewiderstand , IGBT, Wechselrichter

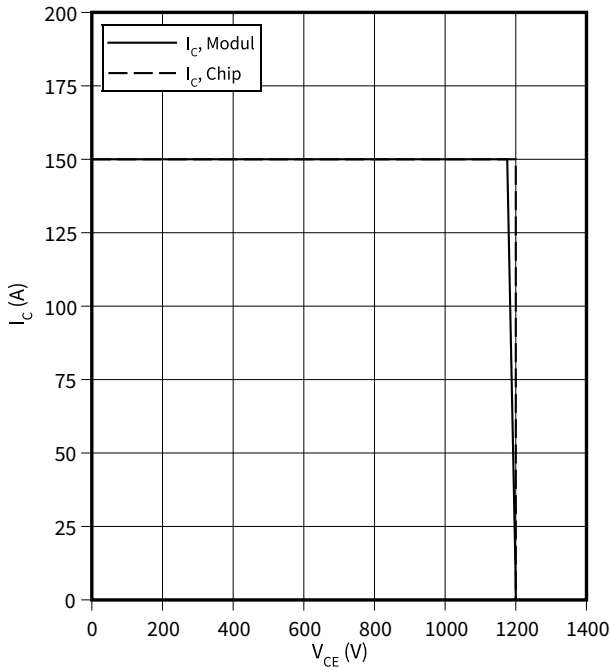
$Z_{th} = f(t)$



Sicherer Rückwärts-Arbeitsbereich (RBSOA), IGBT, Wechselrichter

$I_C = f(V_{CE})$

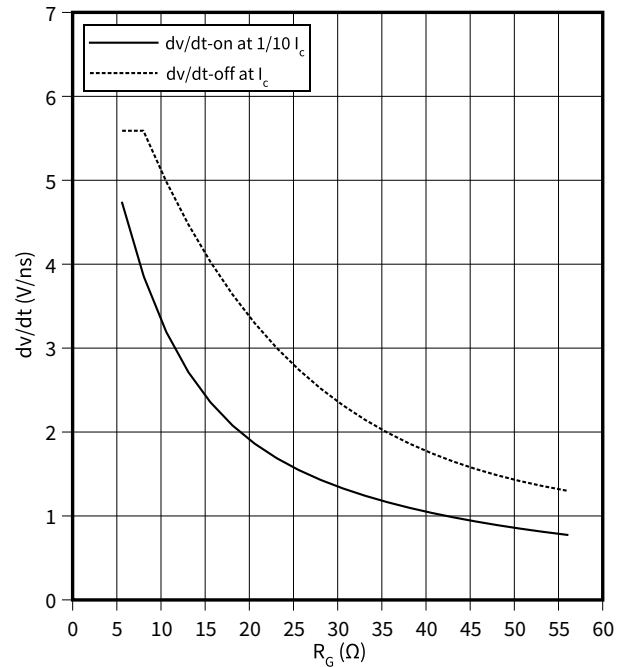
$R_{Goff} = 5.6 \Omega$, $V_{GE} = \pm 15 V$, $T_{vj} = 175 \text{ }^\circ\text{C}$



Spannungssteilheit (typisch), IGBT, Wechselrichter

$dv/dt = f(R_G)$

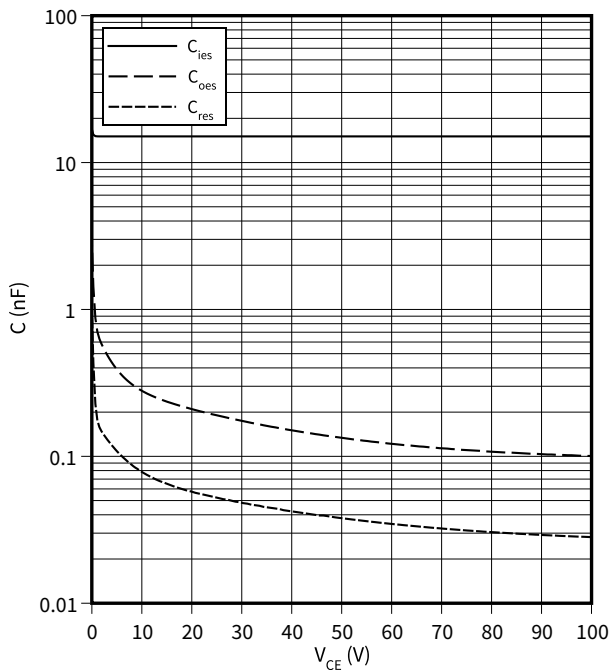
$I_C = 75 A$, $V_{CE} = 600 V$, $V_{GE} = \pm 15 V$, $T_{vj} = 25 \text{ }^\circ\text{C}$



Kapazitäts Charakteristik (typisch), IGBT, Wechselrichter

$C = f(V_{CE})$

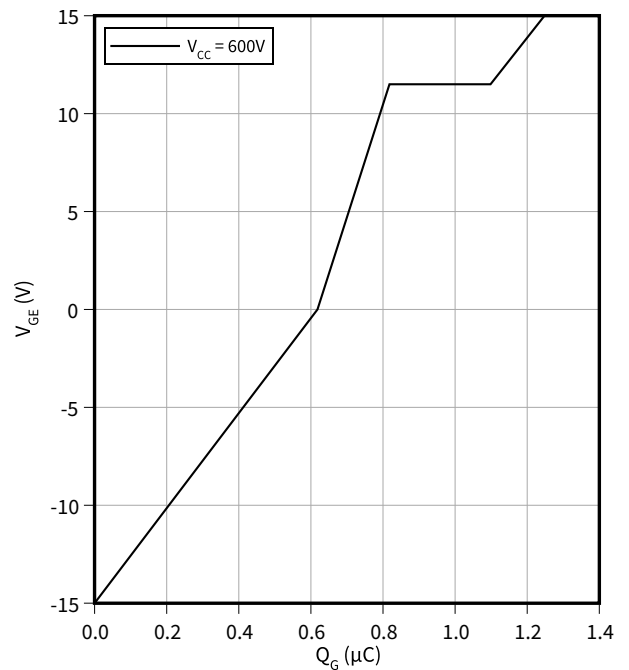
$f = 100 \text{ kHz}$, $V_{GE} = 0 V$, $T_{vj} = 25 \text{ }^\circ\text{C}$



Gateladungs Charakteristik (typisch), IGBT, Wechselrichter

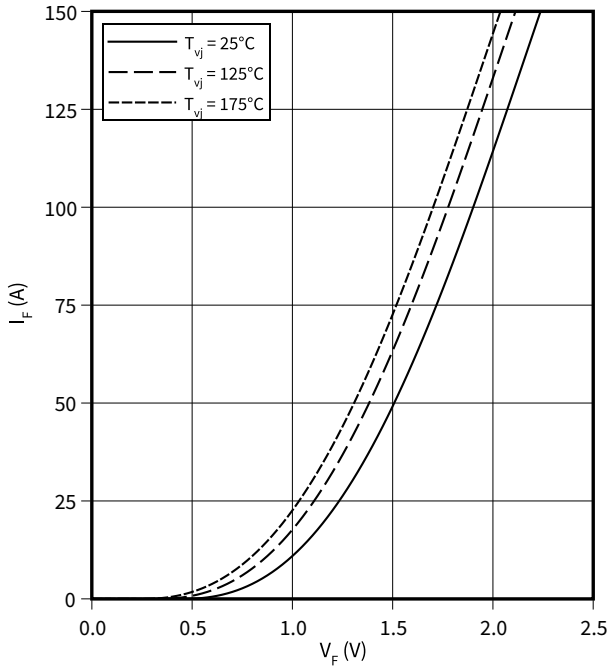
$V_{GE} = f(Q_G)$

$I_C = 75 A$, $T_{vj} = 25 \text{ }^\circ\text{C}$



Durchlasskennlinie (typisch), Diode, Wechselrichter

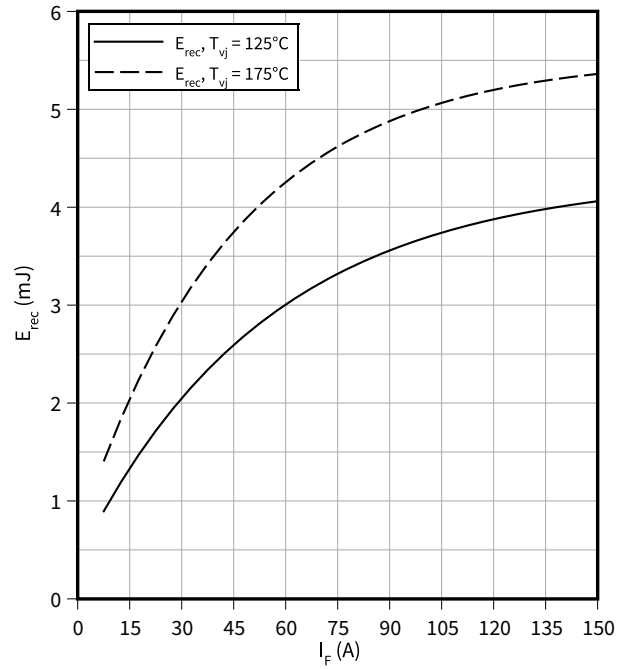
$I_F = f(V_F)$



Schaltverluste (typisch), Diode, Wechselrichter

$E_{rec} = f(I_F)$

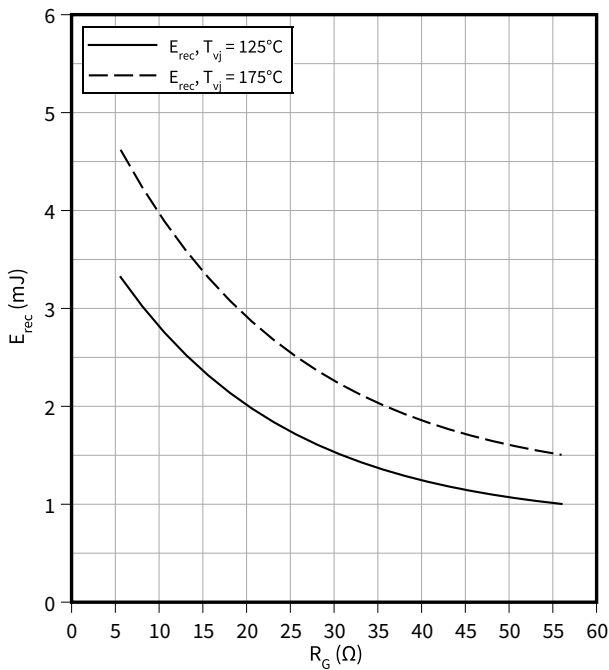
$R_{Gon} = 5.6 \Omega, V_R = 600 V$



Schaltverluste (typisch), Diode, Wechselrichter

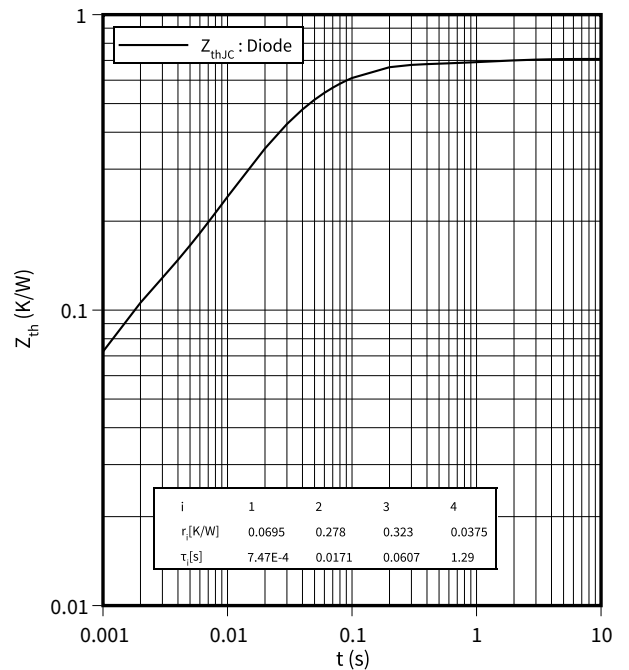
$E_{rec} = f(R_G)$

$I_F = 75 A, V_R = 600 V$



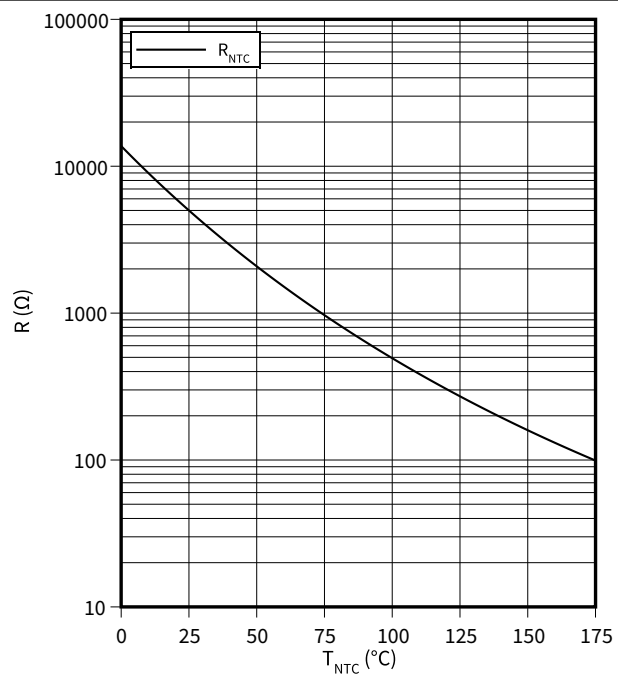
Transienter Wärmewiderstand, Diode, Wechselrichter

$Z_{th} = f(t)$



Temperaturkennlinie (typisch), NTC-Widerstand

$$R = f(T_{NTC})$$



6 Schaltplan

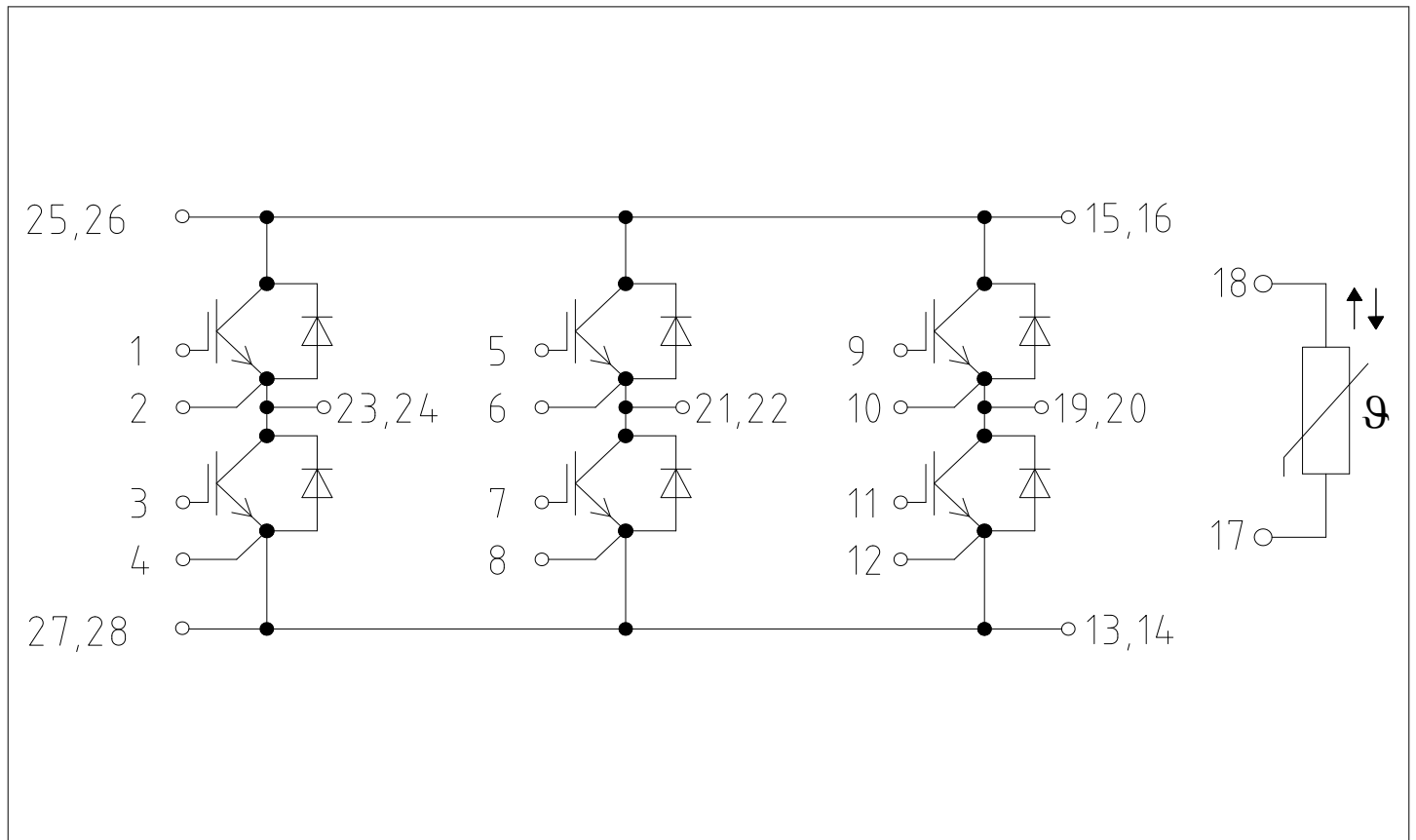


Abbildung 1

7 Gehäuseabmessungen

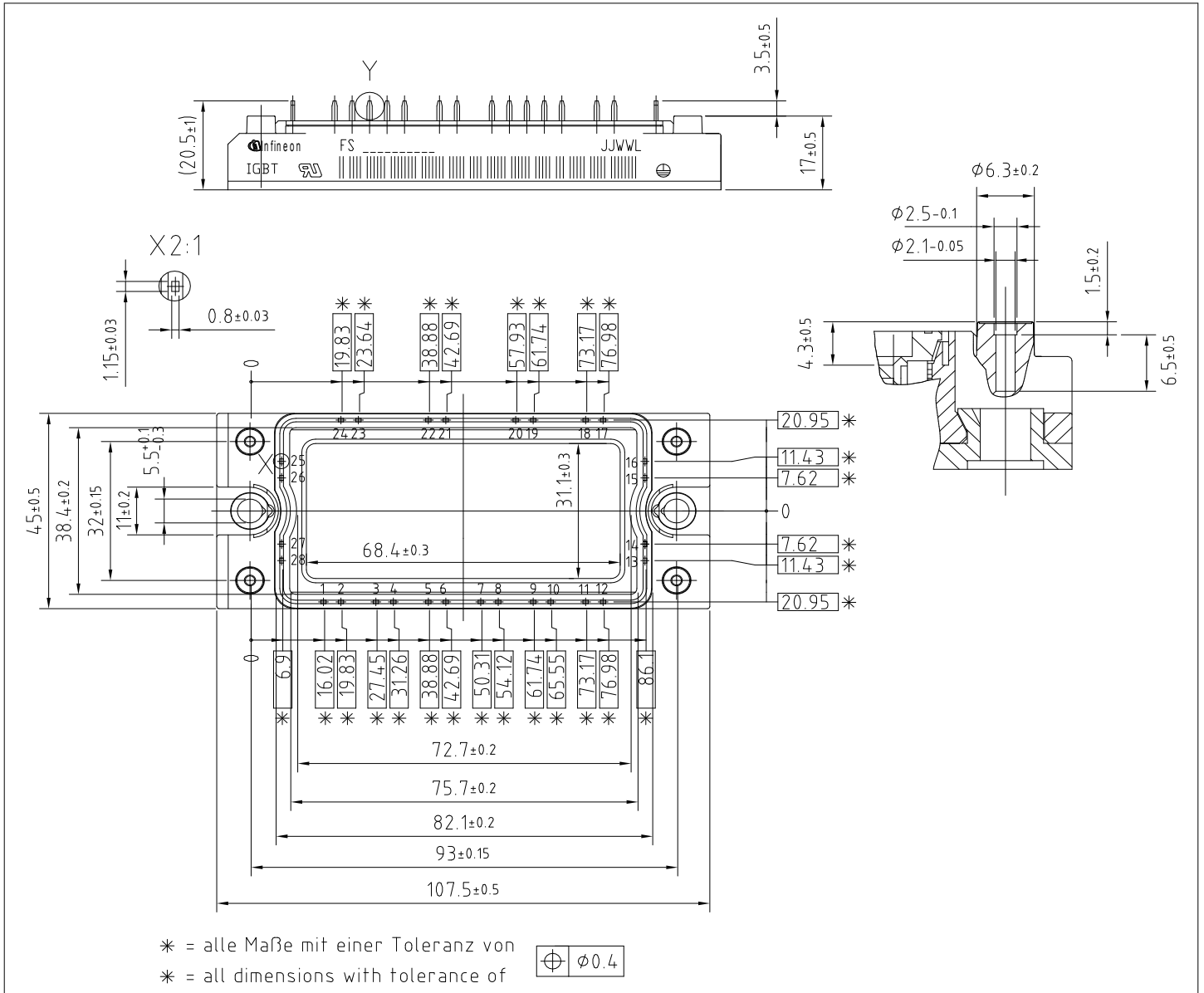


Abbildung 2

8 Modul-Label-Code

Module label code			
Code format	Data Matrix	Barcode Code128	
Encoding	ASCII text	Code Set A	
Symbol size	16x16	23 digits	
Standard	IEC24720 and IEC16022	IEC8859-1	
Code content	<i>Content</i> Module serial number Module material number Production order number Date code (production year) Date code (production week)	<i>Digit</i> 1 - 5 6 - 11 12 - 19 20 - 21 22 - 23	<i>Example</i> 71549 142846 55054991 15 30
Example	<div style="display: flex; justify-content: space-around; align-items: center;"> <div style="text-align: center;">  71549142846550549911530 </div> <div style="text-align: center;">  71549142846550549911530 </div> </div>		

Abbildung 3

Änderungshistorie

Dokumentenrevision	Freigabedatum	Beschreibung der Änderungen
1.00	2021-12-16	Final datasheet